

и эндотелия либо его синтезу к развитию констрикторных и ослабляющим, к развитию вазоспазма. У животных и человека устанавливаются на ответах гладкомышечных волнистых и эндотелиальных ячейках. Возможными причинами эндотелия в старости являются ячейки исследований нарушения ячейки, целостности эндотелиально-гладкомышечного барьера соединительной тканью могут оказаться на синтезе транспорте к гладкомышечным клеткам, а также на возможном ячейках факторов на гормон-реакции.

Уровни функции эндотелия в стадии в изменении гуморальных откликается и тем, что сдвиги реакций и человека похожи на ячейки сосудов зрелых: усиление ячейки дилататорных на воздействие

Dibrova

PARTICIPATION
ES
STRUCTURAL CHANGES

ons of femoral artery and aorta of the major arteries of adult and old subjects in the realization of insulin and vasodilators studied. However, the endothelium of the mature age. The lack of modulating effect of its structural changes and thickening observed by electron microscopy.

особенности влияния инсулина на гладкомышечные клетки и экспериментальную медицину.

типы ультраструктуры митохондрий при атеросклерозе // Цитология. — 1978. — 20, № 4.

шков В. М. и др. Ультраструктурные изменения // Гисто-гематические барьеры. — 1981. — С. 208—214.

электрические и сократительные реакции // Бюл. эксперим. биологии и физиологии.

and relaxing factor // Pharmacol. Ther. — 1984. — 35, № 1.

Endothelial cells and smooth muscle cells // Z. Kardiol. — 1984. — 65, № 10.

Endothelial cells and smooth muscle cells // Biochem. Soc. Trans. — 1984. — 12, № 5.

vascular endothelial cells // Biochem. Soc. Trans. — 1984. — 12, № 5.

actions and properties // FASEB J. — 1984. — 28, № 1.

endothelial cells and smooth muscle cells // Biochem. Soc. Trans. — 1984. — 12, № 5.

actions and properties // FASEB J. — 1984. — 28, № 1.

11. Moncada S., Higgs E. A., Palmer R. M. J. Characterization and biological significance of endothelium-derived relaxing factor // Biochem. Soc. Trans. — 1988. — 16, N 4. — P. 484—486.
12. Palmer R. M. J., Ferridge A. G., Moncada S. Nitric oxide release accounts for the biological activity of endothelium-derived relaxing factor // Nature. — 1987. — 327, N 6122. — P. 524—526.
13. Pohl U., Busse R., Bassenge E. Functionelle Bedeutung des Endothels für die Vasmotorik großer Arterien // Abh. Acad. Wiss. und Lit. Math.-naturwiss. Kl. Funktionssanal. Biol. Syst. — 1986. — N 17. — S. 63—74.
14. Vanhoutte P. M., Rimele T. J. Role of the endothelium in the control of vascular smooth muscle function // J. Physiol. (Fr.) — 1982—1983. — 78, N 7. — P. 681—686.
15. Voorde van De J., Leusen I. Role of the endothelium in the vasodilator response of rat thoracic aorta to histamine // Eur. J. Pharmacol. — 1983. — 87, N 1. — P. 113—120.
16. Warner R. C. Endothelial cell embryology and growth // Vascular endothelium and basement membranes. — Basel e. a. — 1980. — P. 45—75.
17. Weibel E. R. Stereological methods for the quantification of hepatic structures in the liver. Quantitative aspects of structure and function. — Basel: S. Karger, — 1973. — 98 p.

Институт физиологии им. А. А. Богомольца
АН УССР, Киев

Материал поступил
в редакцию 28.03.90

УДК 612.1+616—004.6

Л. В. Савина, Л. А. Тимофеева

Структурные особенности сухой сыворотки крови больных атеросклерозом при применении плазмофереза

Изучены структурные особенности поверхности высушиваемых капель сыворотки крови (СК) у 86 больных атеросклерозом, подвергнутых плазмоферезу. Одновременно у всех обследуемых определяли содержание липидов (общий холестерин, холестерин липопротеидов высокой плотности, триглицериды), сиаловых кислот и иммуноглобулинов. Контролем служила СК 20 практически здоровых людей. Характерным для ее микроструктуры явилось наличие оптически неактивных нитевидных дихотомически ветвящихся кристаллов. У больных с высоким содержанием холестерина в препаратах обнаруживались оптически активные сферолиты, высокому содержанию триглицеридов соответствовали оптически активные дендритные агрегаты, а при гиперсиалиемии появлялись оптически активные фибриллы, гипериммуноглобулинемии соответствовали оптически неактивные агрегаты. После проведения курса плазмофереза у больных появлялись нитевидные дихотомически ветвящиеся кристаллы, исчезали оптически активные включения, что свидетельствовало об упорядочении структуры СК. Полученные результаты подтверждались нормализацией содержания липидов, сиаловых кислот, иммуноглобулинов.

Введение

Известно, что уникальная способность биологических систем живого организма сохранять и передавать различные виды информации определяется взаимосвязью их структур и функций [3], что является научно-практической основой для изучения патогенеза и выбора терапии при различных патологических процессах и заболеваниях как в эксперименте, так и в клинике.

В связи с этим атеросклероз — не исключение. За последние 10—15 лет среди предложенных методов лечения больных атеросклерозом особое место отводится плазмоферезу (П) и гемосорбции [9, 14]. При оценке тяжести течения этого заболевания как до, так и после терапии

© Л. В. САВИНА, Л. А. ТИМОФЕЕВА, 1991

пии, важное значение имеет определение показателей липидного и белкового обменов, иммунных комплексов, структурных и функциональных характеристик эритроцитов [4, 5, 9, 14].

Первичными субстратами, вызывающими морфологические изменения, свойственные атеросклерозу, являются атерогенные липопротеиды (ЛП) и, как результат этих изменений, — дислипопротеидемия, гипергликопротеидемия [1, 2, 7], а также нарушение иммунологического статуса организма и др. [1, 2, 6, 7]. Прогрессирование атеросклеротических поражений артерий, как правило, сопровождается очаговой инфильтрацией стенки сосудов ЛП и иммуноглобулинами.

Наличие аутоантител к ЛП отражают гиперлипопротеинемия или выраженный атеросклероз и ксантаматоз. Возможные аутоантигенные свойства ЛП проявляются как изменением их структуры, так и конформации молекул апопротеинов [6].

В связи с изложенным выше, целью работы явилось изучение структурных особенностей сухой сыворотки крови (СК), в частности высушенных ее капель, у больных атеросклерозом с учетом содержания в ней липидов, гликопротеидов и иммуноглобулинов (Ig).

Методика

Под наблюдением находились 86 больных атеросклерозом в возрасте 40—59 лет, среди них — 36 больных ишемической болезнью сердца (ИБС), 28 — дисциркуляторной энцефалопатией, 22 — облитерирующими атеросклерозом нижних конечностей. Из числа обследованных больных ИБС у 10 была стенокардия напряжения II функционального класса, у остальных — III и IV. Среди больных атеросклеротической дисциркуляторной энцефалопатией у 4 было заболевание I стадии, у 18 — II стадии, у 6 — III стадии. Синдром Лериша наблюдался у 8, распространенное поражение сосудов нижних конечностей — у 10, окклюзия бедренных артерий — у 4. Все больные подвергались плазмаферезу.

Для оценки эффективности П изучали микроструктуру поверхности высушенных капель СК обследуемых больных. Препараты готовили следующим образом: 3—5 капель СК, каждая объемом 0,02 мл, наносили на предметные стекла, накрывали покровными стеклами и сушили в термостате при температуре 37°C на протяжении 4 ч до полного удаления влаги. Полученные образцы микроскопировали в проходящем и поляризованном свете (микроскоп МИН 8). Помимо этого, у всех больных определяли липиды сыворотки крови: общий холестерин (ХС), ХС липопротеидов высокой плотности (ЛПВП), триглицериды (ТГ) на автоанализаторе «Centrifeccher 400» (США). Содержание сиаловых кислот определяли по методике Гесса [8]. Количественное определение иммуноглобулинов (Ig, A, M) проводили методом радиальной иммунодиффузии по Манчини с использованием очищенного агара и стандартных иммunoспецифических сывороток. Исследование осуществляли в первые 2—3 сут с момента поступления в стационар и после одного курса П. В качестве контроля использовали результаты биохимических и иммунологических исследований 20 практически здоровых людей в возрасте от 40 до 59 лет.

Плазмаферез проводили прерывистым методом с использованием пластикатных контейнеров «Гемакон» вместимостью 500 мл и рефрижераторной центрифуги. Наполненный кровью контейнер центрифугировали при 2000 об/мин в течение 10 мин. После центрифugирования плазму из контейнера отжимали с помощью плазмоэкстрактора, а оставшиеся эритроциты ресусцинировали в 100 мл физиологического раствора NaCl и реинфузировали больному. За одну процедуру удаляли до 500 мл плазмы с последующим ее замещением 5 %-ным раствором альбумина. Процедуру повторяли с интервалом 1—2 сут. Курс включал 4—6 сеансов. У всех больных, которым проводили П, отмечалась стабильная гемодинамика.

Результаты и их обс

При поступлении в гиперхолестеринемии, ции общего ХС в кр $\pm 0,9$ ммоль/л (в норме содержания ХС — 1,3 ммоль/л ± 1 , церидемия, подтвер

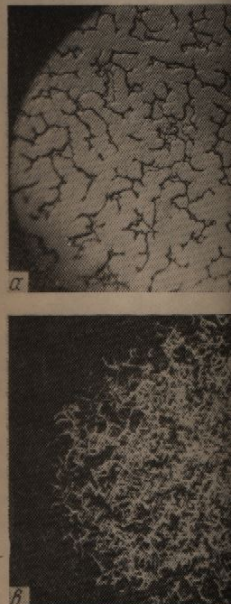


Рис 1. Микроструктуры зом (б — г). $\times 240$.

концентрацией ТГ $\pm 0,07$ ммоль/л; Р $<$ показало, что ее среднее ИБС и составляло 3 $\pm 0,11$ ммоль/л; Р $<$ верно ($P < 0,01$) по 12,1 г/л $\pm 1,3$ г/л.

Приводим примеры больных атеросклерозом, применяемую в кри

структуры СК здоровых, т. е. не реагирующих на иммунологически ветвящихся.

У больных с включениями, реагирующих на радиально-лучевым

ридемии в образцах

гаты (рис. 1, в) [11]

образцах оптически

булинемия типа G —

поляризованный свет.

После П у боль

тельная динамика к

ИБС значительно

ISSN 0201-8489. Физиол.

ие показателей липидного и белкового, структурных и функциональных [14].

Помимо морфологических изменений атерогенные липопротеиды, — дислипопротеидемия, гиперхолестеринемия, гиперлипопротеидемия, гипериммуноглобулинами.

Возможные аутоантитела к иммуноглобулинам гиперлипопротеидемии или иммуноглобулинам. Возможные аутоантитела к иммуноглобулинам, так и кон-

тактно работали явились изучение отложений (СК), в частности атеросклерозом с учетом содержания иммуноглобулинов (Ig).

ых атеросклерозом в возрасте ишемической болезни сердца алопатией, 22 — облитерирующей. Из числа обследованных 14 — у мужчин конечностей — у 10, остальные подвергались пласти-

кали микроструктуру поверхности больных. Препараторы капель СК, каждая объемом 0,5 мл, накрывали покровными эмалью на протяжении 37 °C на протяженность образцы микроскопии в свете (микроскоп МИК 8). Для липиды сыворотки крови: ацетонидов высокой плотности анализатор «Centrifuge 400» определяли по методике Гесноглобулинов (Ig, A, M) профузии по Манчини с использованием иммunoспецифических первые 2—3 сут с момента курса П. В качестве контроля и иммunoлогических исследований в возрасте от 40 до 59 лет, с методом с использованием емкостью 500 мл и рефрижератором контейнер центрифуги. После центрифугирования центрифугатора, а оставив 100 мл физиологического раствора. За одну процедуру удалить ее замещением 5 %-ным раствором с интервалом 1—2 сут. которых проводили П,

Результаты и их обсуждение

При поступлении в клинику у больных были выявлены: тенденция к гиперхолестеринемии, отмечаемая по среднему значению концентрации общего ХС в крови больных, которая составляла $6,8 \text{ ммоль/л} \pm 0,9 \text{ ммоль/л}$ (в норме — $4,9 \text{ ммоль/л} \pm 1,8 \text{ ммоль/л}$); тенденция к снижению содержания ХС ЛПВП крови до $0,6 \text{ ммоль/л} \pm 1,6 \text{ ммоль/л}$ (в норме — $1,3 \text{ ммоль/л} \pm 1,1 \text{ ммоль/л}$); достоверно выраженная гипертриглицеридемия, подтверждаемая высокой ($2,08 \text{ ммоль/л} \pm 0,08 \text{ ммоль/л}$)

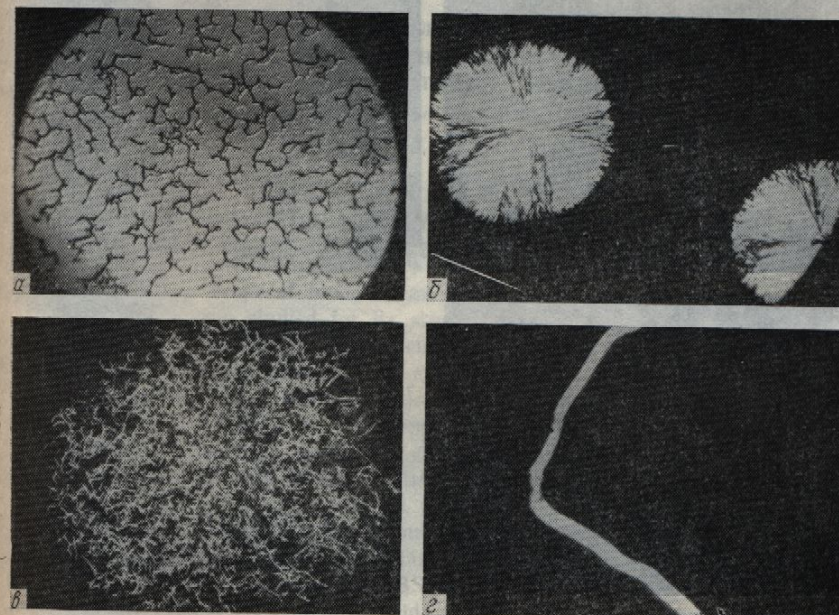


Рис. 1. Микроструктуры сыворотки крови здоровых людей (a) и больных атеросклерозом (b — d). $\times 240$.

концентрацией ТГ в крови у больных (в норме $1,19 \text{ ммоль/л} \pm 0,07 \text{ ммоль/л}$; $P < 0,01$). Определение концентрации сиаловых кислот показало, что ее среднее значение было наиболее высоким у больных ИБС и составляло $3,6 \text{ ммоль/л} \pm 0,66 \text{ ммоль/л}$ (в норме — $1,6 \text{ ммоль/л} \pm 0,11 \text{ ммоль/л}$; $P < 0,01$). Помимо этого у больных всех групп достоверно ($P < 0,01$) повышалась концентрация IgG с $7,96 \text{ г/л} \pm 1,1 \text{ г/л}$ до $12,1 \text{ г/л} \pm 1,3 \text{ г/л}$.

Приводим примеры типовых микроструктур СК здоровых людей и больных атеросклерозом. При описании использовали терминологию, применяемую в кристаллографии [10, 13]. Характерным для микроструктуры СК здоровых людей явилось наличие оптически неактивных, т. е. не реагирующих на поляризованный свет, нитевидных дихотомически ветвящихся микроформ (рис. 1, a).

У больных с высоким содержанием ХС в СК обнаруживались включения, реагирующие на поляризованный свет и соответствующие радиально-лучевым сферолитам (рис. 1, б) [11]. При гипертриглицеридемии в образцах появлялись оптически активные дендритные агрегаты (рис. 1, в) [11]. Гиперсиалиемия характеризовалась наличием в образцах оптически активных фибрill (рис. 1, г), гипериммуноглобулином типа G — пластинчатыми агрегатами, не реагирующими на поляризованный свет (рис. 2, а).

После П у больных атеросклерозом была обнаружена положительная динамика клинического течения заболевания. Так, у больных ИБС значительно уменьшились частота и интенсивность приступов

стенокардии, больные сократили прием препаратов нитроглицерина (58 %), у них улучшилась толерантность к физической нагрузке (56 %). Положительная динамика ЭКГ покоя, выразившаяся реверсией зубца Т, уменьшением числа сердечных сокращений и экстракистол, наблюдалась у 49 % больных.

У больных дисциркуляторной энцефалопатией курс П обусловил положительную клиническую динамику их самочувствия: уменьшилась

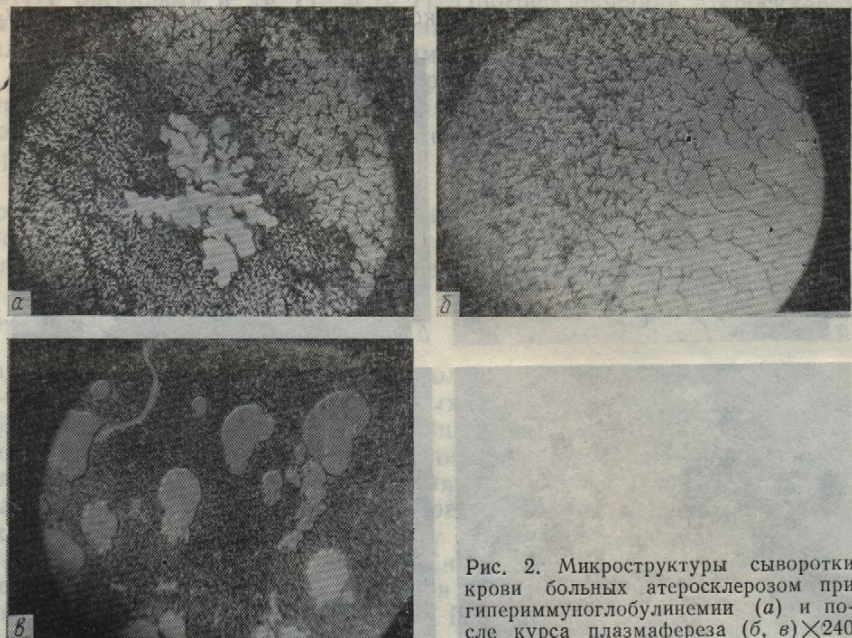


Рис. 2. Микроструктуры сыворотки крови больных атеросклерозом при гипериммуноглобулинемии (а) и после курса плазмафереза (б, в) $\times 240$

головная боль (61 %), улучшился неврологический статус, у 48 % больных полностью исчезали пирамидные знаки, повысилась интеллектуальная и волевая активность, уменьшились астенические проявления (56 %). В группе больных облитерирующим атероскллерозом нижних конечностей улучшение состояния выражалось увеличением проходимого расстояния, потеплением конечностей, уменьшением отечности стоп (47 %). Биохимические и иммунологические показатели свидетельствовали о благоприятном влиянии П. Так, в результате П содержание ХС в СК всех больных снизилось на 21 %. ХС ЛПВП достигло нормы, ТГ снизилось на 48 %, сиаловых кислот нормализовалось у 68 % больных. Статистически достоверным оказалось снижение концентрации IgG (8,5 г/л \pm 0,8 г/л; $P < 0,01$).

После П было выявлено улучшение структурной характеристики СК. На рис. 2, б, в приведены типовые микроструктуры. В центре препарата в 88 % случаев наблюдались мелкие нитевидные дихроматически ветвящиеся кристаллы — микроформы (рис. 2, б), по периферии сохранялись дендритоподобная масса и пузырьковые камеры (рис. 2, в).

Таким образом, включение П в комплексное лечение больных атероскллерозом различной локализации существенно влияет на клиническое течение заболевания и на показатели метаболического и иммунологического гомеостаза организма.

Одновременное уменьшение концентрации липидов, гликопротеидов и IgG у больных атероскллерозом после проведения курса П сопровождается упорядочением структуры СК. Можно полагать, что одним из многочисленных патогенетических механизмов П в лечении атероскллероза является его воздействие на коллоидно-защитные и иммунологические свойства СК этой функциональной биологической систе-

мы, чутко реагирующими на димому, выделенные ими информацией (на условиях развития атероскллероза) и использованы в различном виде, что дает возможность использовать иммунобиохимические

Выводы

Плазмаферез эффективен в лечении атероскллероза, способствует повышению морального иммунитета и качества жизни.

L. V. Savina, L. A. Timofeeva

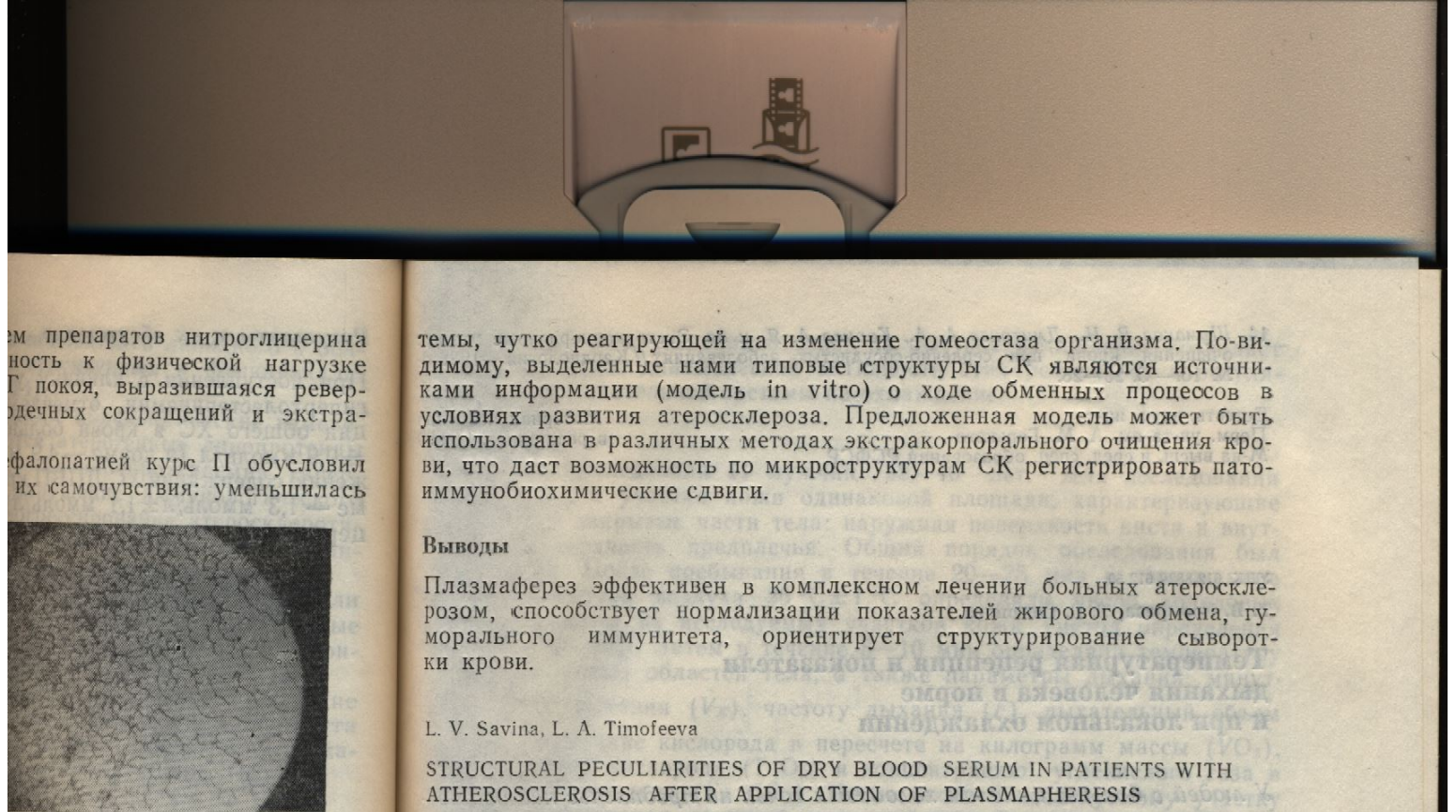
STRUCTURAL PECULIARITIES OF SERUM IN PATIENTS WITH ATHEROSCLEROSIS AFTER PLASMADEXOTHERAPY

The surface of dried drops of serum from patients with atherosclerosis has been studied by electron microscopy. Total cholesterol, cholesterin and immunoglobulins were determined. The sample was taken as a drop of dried serum. Cholesterol crystals were typical found in patients with hypertension — in patients with hypertension and in those with a case of hypersialemia, opthalmoplegia. The plasmapheresis caused significant changes in the structure of serum, that testified to normalization of the disease.

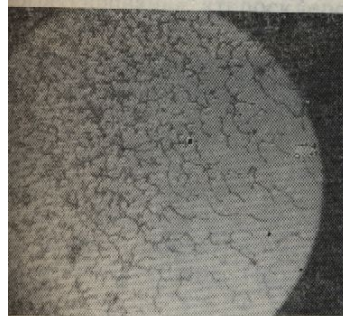
National Research Institute of Cardiology, Ministry of Higher and Secondary Education of RSFSR, Perm

СПИСОК ЛИТЕРАТУРЫ

1. Анетиади В. Х., Зота А. А. Атероскллероз // Арх. патол. 1982. — 44. — № 1. — 100 с.
2. Анетиади В. Х., Найденова Е. А. Атероскллероз // Атероскллероз. — 1982. — 254 с.
3. Бернал Дж. Молекуларная биология и математическая физика // Успехи физ. наук. — 1982. — 102. — № 1. — 100 с.
4. Воробьев А. И., Городецкий В. М. Атероскллероз // Тер. архив. — 1982. — 102. — № 1. — 100 с.
5. Городецкий В. М., Рогов А. А. Атероскллероз // Атероскллероз. — 1982. — 254 с.
6. Иммунореактивность иммуноглобулинов // Успехи физ. наук. — 1986. — 186. — № 1. — 100 с.
7. Кобозев Г. В. Строение и функции холестерина, белков и липидов атероскллероза // Атероскллероз. — 1982. — 254 с.
8. Колб В. К., Камышников А. А. Атероскллероз // Атероскллероз. — 1982. — 254 с.
9. Лопухин Ю. М. Белковые компоненты атероскллероза // Атероскллероз. — 1982. — 254 с.
10. Меланхолин Н. М. Норма и патология холестерина // Успехи физ. наук. — 1970. — 86 с.
11. Савина Л. В. Кристаллы в атероскллерозе // Новые методы диагностики атероскллероза. — 1981. — С. 15—17.
12. Слободин В. Б. Сложные липиды // Атероскллероз. — 1981. — т. 4. — 289 с.
13. Современная картина атероскллероза // Атероскллероз. — 1981. — т. 4. — 289 с.



ем препаратов нитроглицерина, способность к физической нагрузке, Г покоя, выразившаяся реверсивных сокращений и экстраподиальных симптомов.



2. Микроструктуры сыворотки
и больных атеросклерозом при-
ериммуноглобулиномии (а) и по-
курса плазмафереза (б, в) $\times 240$

рологический статус, у 48 %
ые знаки, повысились интел-
ьшились астенические прояв-
терирующим атеросклерозом
ния выразилось увеличением
конечностей, уменьшением
иммунологические показате-
влияний П. Так, в результате
нилось на 21 %. ХС ЛПВП
сиаловых кислот нормализо-
(остоверным оказалось сниже-
 $P < 0,01$).

структурной характеристики ие микроструктуры. В центре мелкие нитевидные дихогомии (рис. 2, б), по периферии и пузырьковые камеры

омплексное лечение больных существенно влияет на клиники-атели метаболического и им-

трации липидов, гликопротеинов и коллоидно-защитные и иммунодиагностические свойства.

темы, чутко реагирующей на изменение гомеостаза организма. По-видимому, выделенные нами типовые структуры СК являются источниками информации (модель *in vitro*) о ходе обменных процессов в условиях развития атеросклероза. Предложенная модель может быть использована в различных методах экстракорпорального очищения крови, что даст возможность по микроструктурам СК регистрировать патоиммунохимические сдвиги.

Выводы

Плазмаферез эффективен в комплексном лечении больных атеросклерозом, способствует нормализации показателей жирового обмена, гуморального иммунитета, ориентирует структурирование сыворотки крови.

L. V. Savina, L. A. Timofeeva

STRUCTURAL PECULIARITIES OF DRY BLOOD SERUM IN PATIENTS WITH ATHEROSCLEROSIS AFTER APPLICATION OF PLASMAPHERESIS

The surface of dried drops of blood serum (BS) from 86 plasmapheresis patients with atherosclerosis has been studied for its structural peculiarities. The content of lipids (total cholesterol, cholesterol of lipoproteins of high density, triglycerides), sialic acids and immunoglobulins was determined in all the examinees. BS from 20 practically healthy people was taken as a control. Optically inactive filamentous dichotomically branching crystals were typical of its microstructure. Optically active spherolites were found in patients with high content of cholesterol, optically active dendrite aggregation—in patients with high content of triglycerides, optically active fibrils appeared in case of hypersialemia, optically inactive aggregates—in case of hyperimmunoglobulinaemia. The plasmapheresis course carried out in patients was followed by appearance of filamentous dichotomically branching crystals, and disappearance of optically active inclusions, that testified to ordering of the BS structure. The results obtained were confirmed by normalization of the content of lipids, sialic acids, immunoglobulins.

Natural-Research Institute of A. M. Gorky University,
Ministry of Higher and Secondary Special
Education of RSFSR, Perm

СПИСОК ЛИТЕРАТУРЫ

1. Анециади В. Х., Зота Е. Г. Эластин артерий при атеросклерозе и гипертонической болезни // Арх. патологии.—1975.—№ 7.—С. 12—18.
 2. Анециади В. Х., Нагорнев В. А. Морфогенез атеросклероза.—Кишинев : Штиница, 1982.—254 с.
 3. Бернад Дж. Молекулярная структура, биохимическая функция и эволюция // Теоретическая и математическая биохимия.—М. : Мир, 1968.—С. 110—113.
 4. Воробьев А. И., Городецкий В. М., Брилланц М. Д. Плазмаферез в клинической практике // Тер. архив.—1984.—№ 6.—С. 3—9.
 5. Городецкий В. М., Рыжко В. В. Плазмаферез в терапии заболеваний, обусловленных иммунной патологией // Там же.—19.—С. 19—23.
 6. Иммунореактивность и атеросклероз / Под ред. А. Н. Климова.—Медицина, Ленинград. от-е., 1986.—186 с.
 7. Кобозев Г. В. Строение липопротеинов и коллоидно-химические соотношения между холестерином, белками, липо- и гликопротеидами крови при экспериментальном атеросклерозе: Автореф. дис... д-ра мед. наук.—Симферополь, 1967.—36 с.
 8. Колб В. К., Камышникова В. С. Справочник по клинической химии.—Минск : Беларусь, 1982.—200 с.
 9. Лопухин Ю. М., Белоусов Ю. Б., Маркин С. С. и др. Гемосорбция в комплексном лечении атеросклероза различной локализации // Кардиология, 1986.—№ 10.—С. 12—19.
 10. Меланхолин Н. М. Методы исследования оптических свойств кристаллов.—М. : Наука, 1970.—86 с.
 11. Савина Л. В. Кристаллооптический прогноз нарушений липидного обмена при атеросклерозе // Новые методы диагностики и лечения в кардиологии.—Пермь, 1988.—С. 15—17.
 12. Слободин В. Б. Сложные белки (глико- и липопротеиды).—Иваново, 1977.—150 с.
 13. Современная кристаллография. Физические свойства кристаллов.—М. : Наука, 1981.—т. 4.—289 с.

УДК 612.882+612.59

Т. В. Козырева, Т. Г. Симонова

Температурная рецепция и показатели дыхания человека в норме и при локальном охлаждении

У людей с большим числом холодовых точек на предплечье наблюдают-
ся значительные вентиляции, частота дыхания и невысокий коэффи-
циент использования кислорода. Это может свидетельствовать об
участии статической активности кожных холодовых рецепторов в фор-
мировании характера дыхания. Температура кожи, при которой прояв-
ляется максимум изменений параметров дыхания при быстром локаль-
ном охлаждении зависит от динамической активности кожных холо-
довых рецепторов: чем больше число холодовых точек в области кисти
и предплечья, тем при меньшем их охлаждении наблюдаются макси-
мальные изменения потребления кислорода и дыхательного объема
легких. Потребление кислорода повышалось при охлаждении кисти,
и предплечья. Дыхательный же объем повышался при охлаждении кис-
ти и уменьшался при охлаждении предплечья.

Введение

Центральные и периферические термочувствительные структуры — важные сенсорные входы системы регуляции дыхания [1—3, 8, 13, 15]. Как известно, действие холода на организм связано с изменением активности холодовых рецепторов не только кожи, но и верхних дыхательных путей.

Одним из параметров, определяющих афферентный температурный сигнал, является число функционирующих термочувствительных рецепторов. У человека этот параметр для кожных холодовых терморецепторов можно оценить по числу холодовых точек. Каждая холодовая точка — область иннервации, по крайней мере, одного холодового терморецептора [14].

Ранее было показано, что число холодовых точек изменяется в условиях адаптации организма к холodu, жаре, физической нагрузке [4, 6, 7]. При этом изменяются также и параметры дыхания: легочная вентиляция, общее потребление кислорода и др. [10—12].

Терморецепторы кожи, как известно, имеют два типа активности. Первый тип — статическая активность: постоянная импульсация при неизменной температуре кожи, причем каждой температуре соответствует свой уровень активности, второй — динамическая активность: кратковременное увеличение частоты разрядов при быстром охлаждении и торможение — при быстром обогреве. Сопоставление показателей дыхания при неизменной температуре среды и кожи с числом холодовых точек дает возможность оценить роль статической активности кожных холодовых рецепторов в формировании характера дыхания у человека. Сопоставление же числа холодовых точек с изменением па-

© Т. В. КОЗЫРЕВА, Т. Г. СИМОНОВА, 1991

48

ISSN 0201-8489. Физиол. журн. 1991. Т. 37. № 3

раметров системы и судить о вкладе дыхательной ции ответа дыхател

Методика

Двукратно обследованы были выбраны участки открытые и закрытые ренния поверхности следующим. После при температуре 1°С точек на одном из описан ранее [6]). Кожи выбранных участков объем дыхания (V_t), потребление кислорода выдыхаемым воздухом кожи на 10 мин проходящим льдом. Площадь ляла 25 см^2 . За время жалась на 10–12°С удаляли и температуру 15 мин.

Регистрацию
мисторов. Для рег-
бологический компле-
результатов состоя-
разных участках в
также зависимости
которой наблюдал-
ответ на охлаждени

Результаты исслед

В табл. 1 приведены метров, получены видно, средние падованиях. Сопоставив точек исследуемых следующее. У обласи предплечья частота дыхания, у них был снижен позволил установи

Таблица 1. Исходные показатели дыхания и температуры

Потребление кислорода единицу массы), мл/Частота дыхания, ми⁻¹ Минутный объем дыхания, л Дыхательный объем, л Использование кислорода Концентрация углекислого газа в выдыхаемом воздухе, мг/л Число холодовых точек на коже Температура кожи в ния, °С

ISSN 0201-8489 \$1